

УДК 548.31

ВОДОРОДНЫЕ СВЯЗИ В КАРБОНИЛИРОВАННЫХ 1,4-ДИГИДРОПИРИДИНАХ

© 2009 А.М. Банару*, Ю.Л. Словохотов

Московский государственный университет им. М.В. Ломоносова

Статья поступила 21 июня 2008 г.

Для Н-связей, стабилизированных π -сопряжением, в классе карбонилированных 1,4-дигидропиридинов с помощью анализа структурных данных Кембриджского банка показано, что водородная связь является необходимым условием π -сопряжения. Установлена возможная связь π -делокализации с биоактивностью лекарств — антагонистов кальция. Обнаружено, что при наличии двух карбонильных групп водородные связи в кристалле преимущественно образует анти-пери-планарная по отношению к 1,4-дигидропиридиновому циклу карбонильная группа.

Ключевые слова: Кембриджский банк данных, водородная связь, π -делокализация, карбонильная группа, молекулярная цепь.

ВВЕДЕНИЕ

Многие замещенные аналоги 3,5-дикарбонилированного 1,4-дигидропиридина относятся к классу лекарств, применяемых для блокировки "медленных" кальциевых каналов и называемых поэтому блокаторами, или антагонистами, кальция. Их используют в терапии сердечных заболеваний, таких как инфаркт миокарда и ишемическая болезнь сердца, при которых необходимо снизить нагрузку на миокард. Попутно блокаторы кальция оказываются эффективны при лечении гипертонии и некоторых других недугов.

Согласно последним результатам расчета равновесных конформаций молекул нескольких лекарств разных "поколений", помещенных в полость кальциевого канала L-типа [1], бесспорно наличие водородного связывания группы $-\text{NH}$ молекулы антагониста кальция с амидогруппой глутамина Gln1060 в полости кальциевого канала, тогда как проблема взаимодействия боковых сложноэфирных групп с полостью канала не вполне решена. Вследствие того, что объемный ароматический заместитель R^2 (рис. 1) всегда расположен в молекуле аксиально (чаще всего $R^1 = \text{H}$) по отношению к основному циклу, положение молекулы в полости *a priori* фиксировано с точностью до нескольких десятков градусов поворота, и две боковые группы различны. Поэтому левый и правый энантиомеры взаимодействуют с рецептором по-разному, зачастую стабилизируя разные конформации полости: в то время как один энантиomer является антагонистом кальция, второй, наоборот, может проявлять агонистические свойства, т.е. увеличивать проводимость мембранны в отношении ионов кальция. Однако большинство структурно изученных к настоящему времени 1,4-дигидропиридиновых производных получено в виде рацемических кристаллов, поэтому предсказать активность лекарства, основываясь лишь на структурных данных, в принципе невозможно. Известно, что в случае антагонистической активности боковая группа R^4 должна быть компактной. Ее протоноакцепторная группа $-\text{C}(\text{O})\text{R}$, скорее всего, образует водородную связь с группой $-\text{OH}$ серина Ser1131, при этом карбонил повернут относительно основного цикла на ненулевой угол [1]. Заметим, что хотя лекарством-

* E-mail: banaru@mail.ru

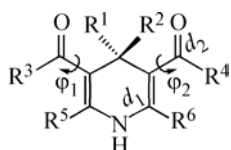


Рис. 1. Общая структурная формула 3,5-дикарбонилированных 1,4-дигидропиридинов

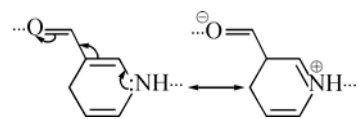


Рис. 2. Предельные резонансные формы карбонилированного 1,4-дигидропиридина

лидером для поиска новых 1,4-дигидропиридиновых антагонистов кальция до сих пор часто является нифедипин ($R^1 = H$, $R^2 = 2'-NO_2Ph$, $R^3 = R^4 = OMe$, $R^5 = R^6 = Me$), реальный круг потенциальных лекарств не ограничен дикарбонилированными соединениями.

С учетом значимой роли водородного связывания в полости кальциевого канала ранее было проведено статистическое исследование массива структурных данных, имеющихся в Кембриджском банке (CSD) [2], для выявления геометрических характеристик водородных связей с участием групп —NHR и боковой карбонильной группы в кристалле [3]. Было установлено, что "разрешенные" области абсолютных значений торсионных углов ϕ_1 и ϕ_2 (см. рис. 1) лежат вблизи 0 и 180° , что указывает на π -кооперативный эффект в молекуле (рис. 2).

Межмолекулярные или внутримолекулярные водородные связи, стабилизированные π -сопряжением протонодонорных и протоноакцепторных групп (RAHB, resonance-assisted H-bonds), изучены в β -енаминах и β -енолонах [4, 5]. В работе [6] предложена классификация сильных водородных связей по природе дополнительной стабилизации, их усиливающей, и RAHB занимают здесь одно из центральных мест. Распространенность сопряжения амино- и карбонильной групп в важнейших биополимерных (пептидные звенья, нуклеотиды) и других биологически активных молекулах позволяет предположить, что H-связи, стабилизированные сопряжением, могут играть важную роль в таких системах. Изучение стабилизированных H-связей в кристаллах органических соединений представляет большой интерес и будет продолжено нами в дальнейшем.

В настоящей работе ставилась задача конкретизировать взаимозависимость водородного связывания и π -сопряжения в карбонилированных (не обязательно ди-) 1,4-дигидропиридинах, выяснить, сказывается ли π -сопряжение на биоактивности, а также обсудить, зависит ли топология возникающих в кристалле молекулярных агломератов от ориентации H-связанной карбонильной группы.

ОБРАБОТКА ДАННЫХ

Статистическую обработку структурных данных, извлеченных из CSD, проводили с помощью программы Vista [7]; анализ главных компонент выполнен с помощью программы StatistiXL [8]. Для визуализации структур и качественного топологического анализа использовали программу Mercury [9].

В качестве параметров, описывающих π -сопряжение, выбраны длины связей d_1 и d_2 (см. рис. 1), а также расстояние N...O между водородосвязанными молекулами (d_3). В качестве критерия наличия H-связи использовали условие $d_3 < R_N + R_O$ (по Бонди [10]). Критерий отбора "достоверных" структурных данных (R -фактор меньше 6 %) был принят на основании установленной ранее зависимости $d_{C-C}(R)$ [11]. При достаточной представительности выборки (свыше 100 структур) учитывали данные только низкотемпературных исследований.

Анализ главных компонент (PCA) [12] проводили с построением корреляционной матрицы геометрических параметров (длин связей и торсионных углов). Используя элементы матрицы нагрузок, т.е. матрицы перехода от m -мерного евклидова пространства, где m — число анализируемых параметров, к m' -мерному пространству выделенных главных компонент (PC), полный массив параметров разбивали на несколько групп взаимно коррелированных величин. Значения двух различных параметров относили к одной группе, если модули соответствующих нагрузок были близки. Практически это означало, что оба значения попадали в один из сле-

дующих интервалов: [0; 0,2), [0,2; 0,4), [0,4; 0,6), [0,6; 0,8). Понижая размерность пространства m , оставляли лишь те главные компоненты, наибольшая нагрузка у которых составляла не меньше 0,6.

Для изучения взаимозависимости π -сопряжения и H-связывания вначале были отобраны все структуры, молекулы которых содержат фрагмент $RHN—C=C—C(O)R$, с целью получить некоторое общее представление о распределении параметров d_1 и d_2 . Затем ограничили выборку только 1,4-дигидропиридиновыми производными (см. рис. 2). Эта выборка содержала, с одной стороны, как 3,5-дикарбонилированные, так и 3-монокарбонилированные дигидропириидины, с другой стороны, как гомо-, так и гетеромолекулярные структуры, в том числе гидраты. На последней стадии выборку сузили до бимолекулярных гидратов и рассмотрели те структуры, в которых молекула воды "встраивалась" между группами $—NHR$ и $—C(O)R$, с тем, чтобы выяснить, нарушается в этих условиях резонансная стабилизация или нет.

Для исследования топологии молекулярных агломератов, образованных RAHB, в зависимости от ориентации группы $—C(O)R$, и выявления предпочтительности H-связывания *син-либо анти-peri*-планарного карбонилов, были отобраны только гомомолекулярные 3,5-дикарбонилированные 1,4-дигидропириидины.

РЕЗУЛЬТАТЫ И ИХ ОБСУЖДЕНИЕ

На двумерной диаграмме рассеяния $d_1—d_2$ для фрагмента $RHN—C=C—C(O)R$ (рис. 3) наблюдаются два сгущения в областях $d_1 \sim 1,38$, $d_2 \sim 1,22 \text{ \AA}$ и $d_1 \sim 1,37$, $d_2 \sim 1,24 \text{ \AA}$. Первое сгущение отвечает предельной форме, изображаемой структурной формулой конкретного вещества, второе отвечает некоторому вкладу резонансной структуры с разделением зарядов. При этом предельный для нее структурный фрагмент с π -делокализацией, $^+RHN=C=C—(O)R^-$, соответствует обширной разреженной области в правой нижней части диаграммы ($d_1 < 1,34$, $d_2 > 1,26 \text{ \AA}$). Сужение выборки до структур, не просто содержащих фрагмент $RHN—C=C—C(O)R$, но являющихся 1,4-дигидропиридинами (рис. 4), позволило констатировать, что в данном ряду структур π -делокализация порождает водородные связи на концах соответствующего фрагмента (объединяющие молекулы в бесконечные цепи). Заметим, что дикарбонилирован-

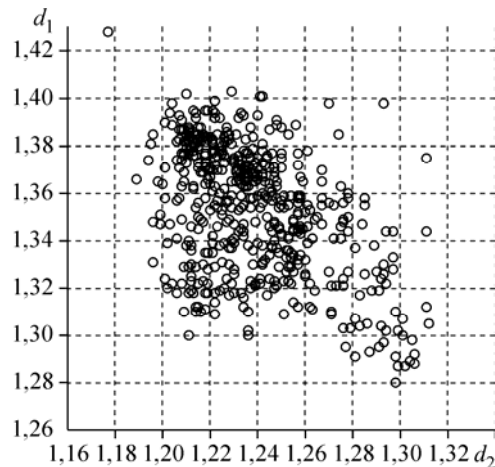


Рис. 3. Двумерная диаграмма рассеяния $d_1—d_2$ (Å) для молекулярного фрагмента $RHN—C=C—C(O)R$ в структурах с $R < 6\%$ и температурой рентгенодифракционной съемки $T < 250$ K

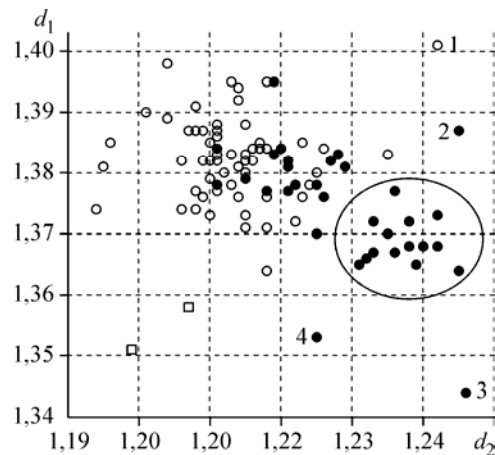


Рис. 4. Двумерная диаграмма рассеяния $d_1—d_2$ (Å) для фрагмента $RHN—C=C—C(O)R$ в карбонилированных 1,4-дигидропиридинах ($R < 6\%$, температура рентгенодифракционной съемки $T < 250$ K). Закрашенные точки соответствуют фрагментам, объединенным связями $—C(O)R...RHN—$ в бесконечные цепи с π -делокализацией. Линией ограничена область, соответствующая некоторому вкладу резонансной структуры с разделением зарядов (см. рис. 2)

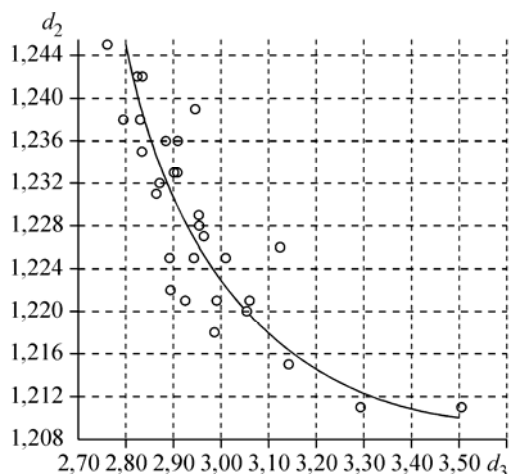


Рис. 5. Двумерная диаграмма рассеяния d_2 — d_3 (\AA) для молекулярного фрагмента, изображенного на рис. 2, связанного в бесконечные цепи с π -делокализацией

ным 1,4-дигидропиридинам на рис. 4 соответствуют две точки, из которых закрашено не более одной, а моникарбонилированным соответствует одна точка, закрашенная либо нет. Сопряжение настолько усиливает протонодонорные свойства группы $-\text{NHR}$ и протоноакцепторные свойства группы $-\text{C(O)R}$, что те обязательно образуют между собой в кристалле водородную связь, несмотря на возможное наличие формально более сильных доноров и акцепторов в остальной части молекулы. Разумеется, обратной зависимости ожидать не следует, поскольку сопряжение обусловлено в первую очередь электронным строением самой молекулы. Выпадающие точки, обозначенные на диаграмме цифрами 1, 2 и 3, соответствуют амидам, причем в 2 именно амидогруппа образует фрагмент $-\text{C(O)R...RHN}-$, а в дикарбонилированной молекуле 3 водородную связь образует другая карбонильная группа. Точка 4 отвечает молекуле с сильно электроноакцепторным заместителем (2-Cl) по ходу сопряженного фрагмента, а точки в виде квадратов отвечают структуре с рефкодом KANQEY, представляющей собой дикарбонилированный 4-пиридон, в котором молекулы формируют водородносвязанные цепочки по типу 4-пиридона. Для фрагментов, отвечающих закрашенным на рис. 4 точкам, прослеживается явная тенденция к растяжению связи $-\text{C=OR}$ при укорочении (усилении) связи $-\text{C(O)R...RHN}-$ (рис. 5). Результаты анализа методом главных компонент с помощью построения матрицы девяти длин связей и двух торсионных углов в молекулярном фрагменте (рис. 6) подтверждают наличие в нем единой π -сопряженной системы. Первая главная компонента определяет геометрию фрагмента $\text{RHN}-\text{C=C}-\text{C(O)R}$ со взаимно коррелированными длинами связей, вторая главная компонента задает коррелированные торсионные углы карбонилу и объемному заместителю R^2 . Однако несмотря на то что поворот карбонильной группы стерически обусловлен поворотом ароматического заместителя, соответствующий угол остается в области значений, совместимых с π -сопряжением (вблизи 0 или 180°).

Как показывают наши последние результаты, если между звенями молекулярной цепи встраивается молекула воды (в гидратах), сопряжение молекул в цепи сохраняется (рис. 7), приобретая в данном случае свойства гиперконъюгации (σ,π -сопряжения). Это согласуется с представлением о σ -кооперативном характере связей в структуре водных льдов I_h и I_c.

Предварительные результаты сопоставления структурных параметров с биологической активностью в данном классе соединений свидетельствуют о том, что наиболее биологически активные антагонисты кальция ($-\lg IC_{50} > 8$ [13]) выраженной π -делокализации не демонстрируют (рис. 8). Очевидно, π -делокализация означала бы необходимость сформировать с рецептором связь, линейно направленную вдоль фрагмента с делокализацией, что повлекло бы про-

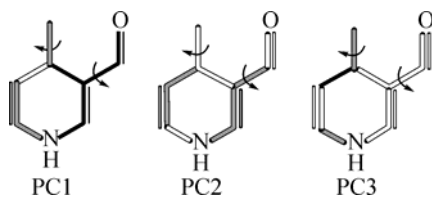


Рис. 6. Нагрузки геометрических параметров молекулы у трех главных компонент PC1, PC2 и PC3 (отвечают за 74 % выборочной дисперсии) для структур с $R < 6 \%$.

Интенсивность затенения пропорциональна величине модуля нагрузки данного параметра в компоненту. Черный цвет означает корреляцию данного параметра с компонентой (модуль соответствующей нагрузки больше 0,6)

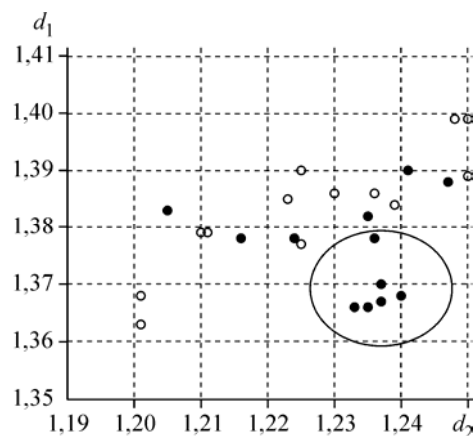


Рис. 7. Двумерная диаграмма рассеяния d_1 — d_2 (Å) в гидратах карбонилированных 1,4-дигидропиридинов.

Закрашенные точки соответствуют фрагментам, объединенным мотивом $-\text{C}(\text{O})\text{R}\dots\text{H}_2\text{O}\dots\text{RHN}-$ в бесконечные цепи. Линией ограничена область, соответствующая некоторому вкладу резонансной структуры с разделением зарядов (см. рис. 2)

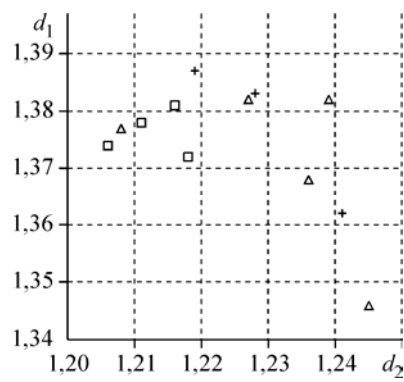


Рис. 8. Двумерная диаграмма рассеяния d_1 — d_2 (Å) для дикарбонилированных 1,4-дигидропиридинов с известной биоактивностью.

Разные фигуры соответствуют разным интервалам значений $-\lg IC_{50}$ [13]: 4,0—6,0 (кресты), 6,0—8,0 (треугольники), 8,0—10,0 (квадраты). Величина IC_{50} определяется как концентрация препарата, вызывающая 50%-ю блокировку кальциевых каналов *in vitro*

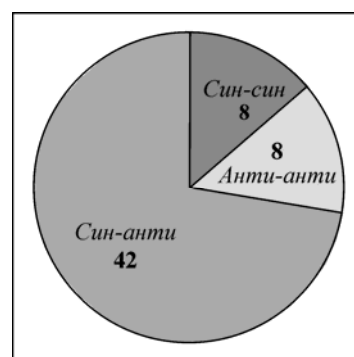
Симметрия молекулярных цепей, образованных за счет связей $-\text{C}(\text{O})\text{R}\dots\text{RHN}-$, в кристаллах 3,5-дикарбонилированных 1,4-дигидропиридинов для син- и анти-пери-планарной ориентации карбонильной группы (в фигурные скобки заключены классы псевдосимметрии)

Симметрия цепи, число формульных единиц на период цепи	Син- $\text{C}(\text{O})\text{R}$		Анти- $\text{C}(\text{O})\text{R}$	
	Число структур	Общее число структур	Число структур	Общее число структур
$P_c1, Z = 1(1)$	0	0	19	19
$P_{c21}, Z = 2(1)$	9	10	1	1
$\{P_{c21}, Z = 2(1)\}$	1		0	
$P_{cg}, Z = 2(1)$	2	2	22	23
$\{P_{cg}, Z = 2(1)\}$	0		1	
Общее число структур		12		43

игрыш в суммарной энергии, поскольку, как уже говорилось выше, форма полости канала, скорее всего, предполагает вывод группы $-\text{C}(\text{O})\text{R}$ из плоскости "дна" гетероцикла.

Син- и *анти*-ориентированные по отношению к основному циклу группы $-\text{C}(\text{O})\text{R}$ формируют в рацемических гомомолекулярных кристаллах дикарбонилированных 1,4-дигидропиридинов молекулярные цепи совершенно разной топологии (см. таблицу). Вообще, цепи сформированы приблизительно в 60 % первоначально отобранных структур, а димеры в силу стерических причин не формируются никогда. Сравнительно невысокая вероятность формирования цепей обусловлена лишь тем, что в молекуле могут быть иные доноры и акцепторы водородной связи, образующие при отсутствии выраженного π -сопряжения собственный мотив Н-связей. *Син*-ори-

Рис. 9. Диаграмма распределения син—син, син—анти и анти—анти молекулярных форм дикарбонилированных 1,4-дигидропиридинов в выборке структур из таблицы



ентация группы —C(O)R влечет формирование цепей вдоль винтовой оси, а *анти*-ориентация приводит к объединению в цепи молекул, связанных трансляцией либо плоскостью скользящего отражения. *Анти-пери*-планарный карбонил формирует молекулярные цепи примерно в 3 раза чаще, чем *син-пери*-планарный, хотя исходя из распределения форм *син—син*, *син—анти* и *анти—анти* дикарбонилированных молекул (в той же выборке структур) следовало ожидать для них равной вероятности формирования (рис. 9). Несоответствие общего числа молекул на рис. 9 числу структур в таблице объясняется тем, что некоторые кристаллы бисистемны.

СПИСОК ЛИТЕРАТУРЫ

1. Cosconati S., Marinelli L., Lavecchia A., Novellino E. // J. Med. Chem. – 2007. – **50**. – P. 1504.
2. Allen F.H. // Acta Crystallogr. – 2002. – **B58**. – P. 380.
3. Банару А.М. // Вестн. Моск. ун-та. Сер. 2. Химия. – 2008. – **49**, № 6. – С. 385.
4. Bertolasi V., Gilli P., Ferretti V., Gilli G. // Acta Crystallogr. – 1998. – **B54**. – P. 50.
5. Gilli P., Bertolasi V., Ferretti V., Gilli G. // J. Amer. Chem. Soc. – 2000. – **122**. – P. 10405.
6. Gilli P., Bertolasi V., Pretto L., Gilli G. // J. Mol. Struct. – 2006. – **790**. – P. 40.
7. Vista. – UK, Cambridge Crystallographic Data Centre, 1994.
8. Roberts A., Withers P. StatistiXL, release 1.7. – Australia, University of Western Australia, 2007.
9. Macrae C.F., Edgington P.R., McCabe P. et al. // J. Appl. Crystallogr. – 2006. – **39**. – P. 453.
10. Bondi A. // J. Phys. Chem. – 1964. – **68**. – P. 441.
11. Банару А.М., Словохотов Ю.Л. // Тез. докл. VI Нац. конф. РСНЭ. – Москва, 2007. – С. 80.
12. Murray-Rust P., Raftery J. // J. Mol. Graphics. – 1985. – **3**. – P. 50.
13. Coburn R.A., Wierzba M., Suto M.J. et al. // J. Med. Chem. – 1988. – **31**. – P. 2103.